

( I - 8 ) 静的不安定性を有する2自由度構造物の動的破壊について

宇都宮大学工学部 学生員 ○太田清文  
宇都宮大学工学部 正員 中島章典、阿部英彦

1、はじめに

圧縮軸力を受けている柱などが動的外力を受けると、座屈荷重より小さい圧縮軸力作用下で、動的外力による変形のために、柱が不安定となる場合がある。このような静的不安定性を有する1自由度系の動的破壊を規定する応答量は、動的外力によるエネルギー入力より履歴減衰エネルギーを差し引いた有効エネルギー入力であることが明らかにされている<sup>1)</sup>。しかし、多自由度系では複数のばねによって吸収エネルギーが配分されるために、その挙動は複雑になり、動的破壊基準も1自由度系の場合と異なることが考えられる。そこで、多自由度系として最も基本的な2自由度系を対象として、数値計算をもとに、このような動的破壊が生じる場合の破壊モードとエネルギー応答量の関係などを検討した。

2、運動方程式

図1のような、静的荷重Pが作用し、質点(質量 $m_1, m_2$ )、剛棒(長さ $l_1, l_2$ )、回転ばね(ばね定数 $k_1, k_2$ )よりなる2自由度系に水平方向の動的外力( $f_1, f_2$ )が作用するときの運動方程式は、幾何学的非線形性および減衰を無視すると次のようになる。

$$\begin{aligned} l_1 m_1 \ddot{x}_1 + (l_1 + l_2) m_2 \ddot{x}_2 + R_1 &= P_2 x_2 + l_1 f_1 + (l_1 + l_2) f_2 \\ l_2 m_2 \ddot{x}_2 &+ R_2 = P_2 (x_2 - x_1) + l_2 f_2 \end{aligned} \quad (1)$$

ここに、 $R_1, R_2$ は回転ばねの復元モーメントであり、その特性を図2に示す完全弾塑性型であるとする。式(1)をマトリックス形で書き改めれば、

$$L M \ddot{X} + R - P X = L F \quad (2)$$

となる。ここで、ばねが弾性域にあるとし、 $R = K \theta$  および  $\theta = L^{-1} X$  の関係を用いれば、上式は、

$$M \ddot{X} + L^{-1} \{ K (L^{-1})^{-1} - P \} X = F \quad (3)$$

と表される。これは通常の運動方程式と同形であり、数値積分による弾塑性動的応答解析が可能である。上式の第2項が系の復元力を示す。

3、動的破壊モード

2自由度系の動的破壊モードは、塑性化がばね1のみに集中する場合、ばね2のみに集中する場合およびばね1、2の両方が塑性化する場合が考えられる。式(3)左辺第2項の系の復元力において $k_1 = k, k_2 = \eta k, P_2 = \alpha k / l, x_2 = \mu x_1$ として、塑性化がばね1のみに集中する場合の系の復元力特性を示すと、 $R_1, R_2'$ について図3(a)、(b)のようになる。図に示す $K_b$ と $K_e$ は、 $|K_b| > |K_e|$ であるから、 $R_1'$ の復元力がゼロとなる変位 $x_1 = x_{cr}$ において、系の吸収可能なひずみエネルギーは最大になる。つまり、1自由度系の場合と同様に $x_{cr}$ が限界変位であり、このときまでの吸収可能なひずみエネルギーは、

$$\begin{aligned} E_{so} = E_1 + E_2 = E_v \left\{ \frac{1}{(\mu - 2)(2\eta - \alpha)} - 1 \right. \\ \left. + \frac{(\mu - 2)(\eta - \alpha) - \alpha}{(\mu - 2)^2 (2\eta - \alpha)^2} \right\} \end{aligned} \quad (4)$$

と表される。ここに、 $E_v$ は、ばね1が降伏するときの弾性ひずみエネルギーであり、 $E_v = k (x_v / l)^2 / 2$ と表される。

塑性化がばね2のみに集中する場合および両方のばねが塑性化

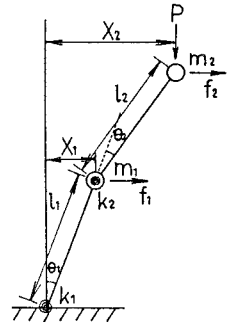


図1 2自由度モデル

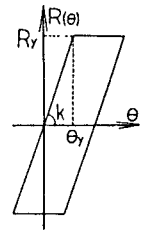
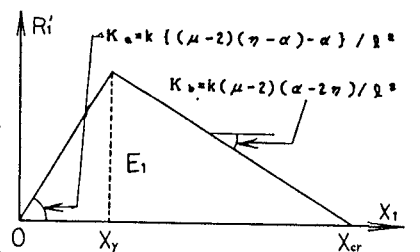
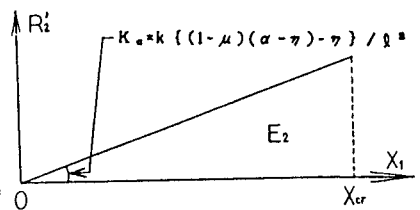


図2 回転ばねの復元力特性



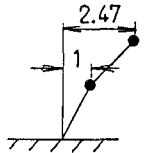
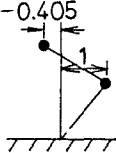
(a)  $R_1'$



(b)  $R_2'$

図3 系の復元力特性

表1 解析モデルの諸元と固有振動数、振動モード

$k_1 = k_2 = 200 \text{ (N/m)}$ $m_1 = m_2 = 50 \text{ (kg)}$ $l_1 = l_2 = 5 \text{ (m)}$ $P = 5 \text{ (N)}$ $P_{cr} = 15.3 \text{ (N)}$	$\omega_1 = 0.136 \text{ (rad/s)}$ 	$\omega_2 = 0.939 \text{ (rad/s)}$ 
---	---	---

する場合の吸収可能な最大ひずみエネルギーも同様に求めることができる。

4、数値計算

ニューマークのβ法とニュートンラフソン法を併用した数値計算法により、パラメトリック解析を行い動的応答量を求める。特に、1自由度系の場合の結果をもとに、動的終局状態までの有効エネルギー入力  $E_{or}$  (動的外力によるエネルギー入力から履歴減衰エネルギーを差し引いたエネルギー) を求め、前述した吸収可能な最大ひずみエネルギーと比較する。ここでは、塑性化がばね1のみに集中するモデルについて検討する。このモデルの諸元および固有振動数、振動モードを表1に示す。また、動的外力は質点1、2に同じ正弦波外力が作用する場合を考える。

(1) 静的荷重比の影響

図4は、円振動数  $\omega$  が1次の固有円振動数に等しい正弦波外力が作用する場合について、数値計算から求まる有効エネルギー入力と静的荷重比  $\alpha$  の関係を示している。縦軸が有効エネルギー入力  $E_{or}$  を弾性限ひずみエネルギー  $E_y$  で無次元化して表し、横軸が静的荷重比  $\alpha$  である。動的外力の振幅を変えても有効エネルギー入力はほぼ一定値となり、静的荷重比が大きくなるほどその値は減少することがわかる。一方、式(4)に  $\alpha$  等を代入して最大ひずみエネルギーが有効エネルギー入力に一致するように  $\mu$  を仮定すると、 $\alpha$  の大きさにつれて  $\mu$  が変化する。したがって、両エネルギーが一致するように  $\mu$  を定めた場合の  $\alpha$  と  $\mu$  の関係を図5に示す。この図と図4を利用すれば任意の静的荷重比をもつ系の有効エネルギー入力を式(4)より推定することができる。

(2) 動的外力の円振動数の影響

図6は、正弦波外力の円振動数を0~1.4rad/sに変化させた場合の円振動数と有効エネルギー入力の関係を示したものである。1次の固有円振動数の近傍では、有効エネルギー入力は共振点における値にほぼ一致する。しかし、2次の固有円振動数の領域に近づくにつれて、有効エネルギー入力がしだいに大きくなっている。これは、正弦波外力の円振動数が2次の固有円振動数に近づくにつれて、破壊モードが、ばね2に塑性化が集中するモードに移行するためである。

最後に、この研究は科学研究費の補助を受けたことを付記する。

《参考文献》 1) 中島他: Dynamic failure of structures ~、土木学会論文集、No.386/I-8,1987,10

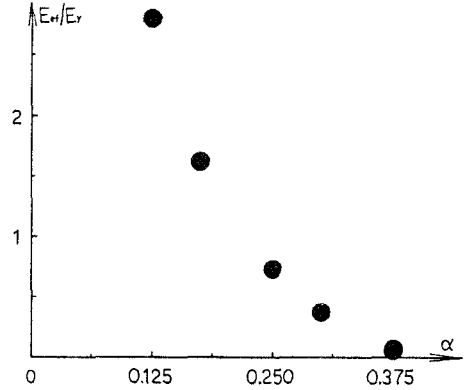


図4 静的荷重比と有効エネルギー入力の関係

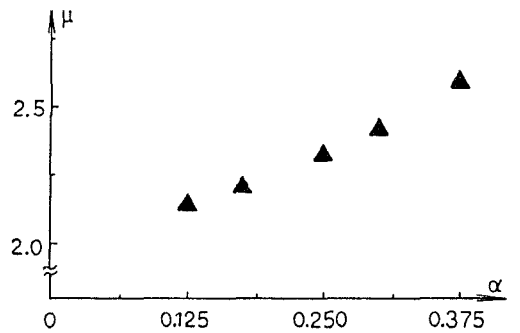


図5 静的荷重比  $\alpha$  と  $\mu$  の関係

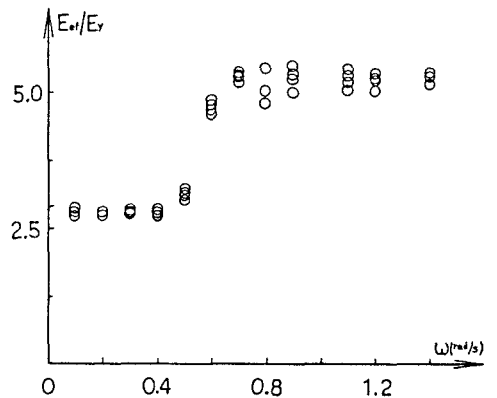


図6 動的外力の円振動数と有効エネルギー入力の関係